

# ОСОБЕННОСТИ СТРУКТУРЫ СПЛАВА FeCu<sub>1</sub>Si<sub>16</sub>B<sub>6</sub> HA НАНОМЕТРОВОМ И МОРФОЛОГИЧЕСКОМ УРОВНЯХ

#### Выполнила:

студентка группы Б – 8415 Ансович А. В Руководитель:

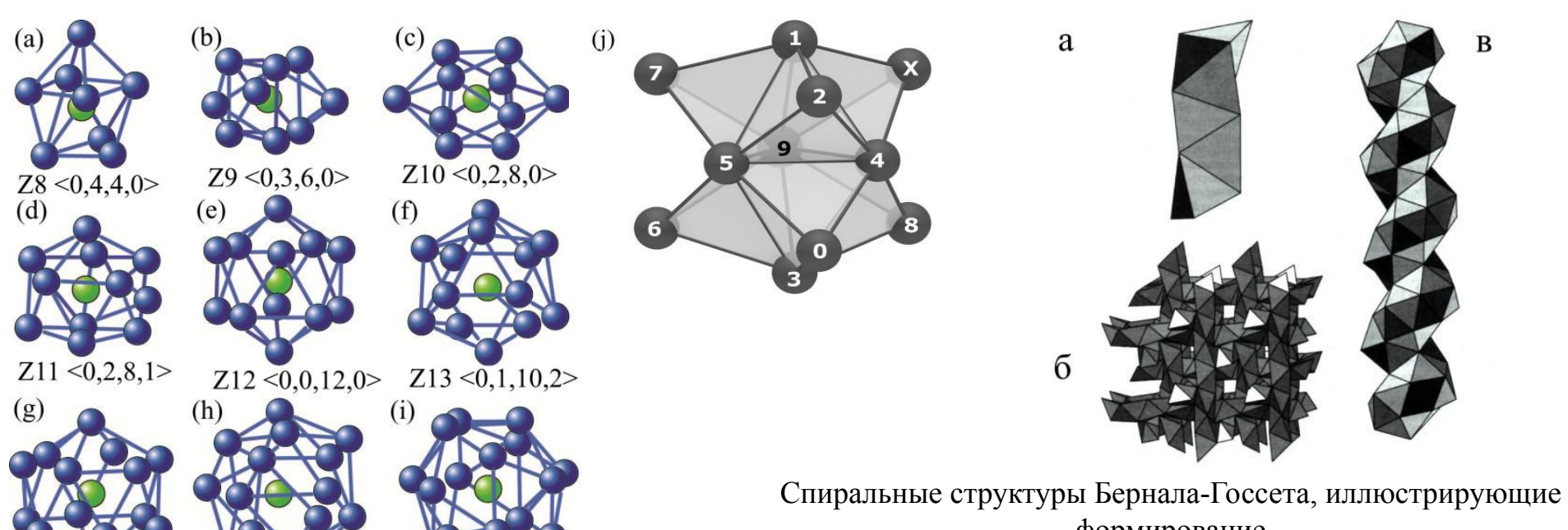
профессор, к. ф. – м. н. Крайнова Г. С



## Введение

Аморфные сплавы на основе металлов группы железа (Fe, Ni, Co), полученные закалкой из расплава на вращающийся с большой скоростью холодильник, обладают превосходными магнитными свойствами, низкими потерями на перемагничивание, высокой прочностью, что обеспечивает их применение в магнитных записывающих головках, трансформаторах и электронных устройствах. Спиннингованные ленты типа Finemet являются примером аморфнонанокристаллического состояния, необычность которого состоит в том, что кристаллическая фаза обладает упорядоченной атомной структурой, атомная структура аморфной фазы лишена трансляционной симметрии, обладая лишь ярко выраженным топологическим и композиционным ближним порядком. Уникальные физико-механические свойства таких двухфазных систем сочетают особенности как нанокристаллических, так и аморфных материалов. Поэтому важными в этой связи являются вопросы характера и организации структуры таких сложных объектов.

## Актуальность исследования



Z – кластеры, как разновидности искаженных икосаэдрических координаций (а)-(і), 11-вершинный универсальный тетраблок (j), <sup>1</sup>

Z15 <0,0,12,3>

Z16 <0,0,12,4>

Z14 <0,0,12,2>

формирование

некристаллического ближнего порядка в расплавах, нано- и аморфных металлах:

а – спираль из тетраэдров Бернала, как частный случай; б – объемная регулярно-

тетраэдрическая структура;

e — спиральная икосаэдрическая структура, формируемая слегка искаженными икосаэдрами, 1,2

<sup>&</sup>quot;Формирование среднего порядка в стеклах и дальнего в нанокристаллических сплавах с учетом характера связи и трансформации ближнего порядка" В.А Полухин, Э.Д. Курбанов, Р.М Белякова, 2016г;

<sup>&</sup>quot;Образование самоподобных пространственных структур в модуляционно – неустойчивых средах" В.М Куклин, "Электромагнитные явления", Т. 4, № 1 (13), 2004г;



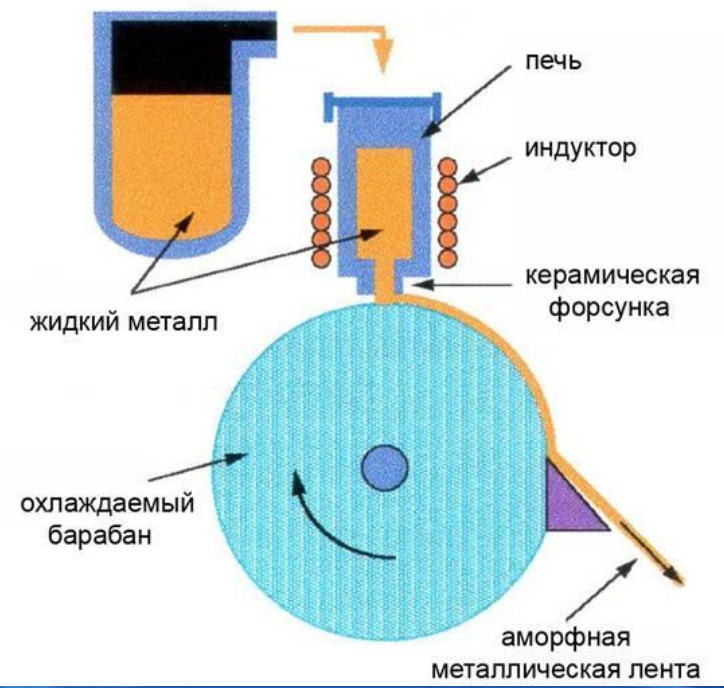
## Цели и задачи:

Целью данной работы является изучение характера структуры и анизотропии сплава  $\mathrm{FeCu_1Si_{16}B_6}$ , полученного методом спиннингования. В связи с этим были поставлены следующие задачи:

- 1) отработать методику фурье-анализа с использованием программ QAVIS, KsaImage, GatanDigitalMicrograph;
- 2) провести спектральный анализ структуры быстрозакаленного сплава  ${\rm FeCu_1Si_{16}B_6}$  в нанометровом диапазоне и на морфоуровне с использованием электронно-микроскопических изображений;
- 3) изучить характер неоднородностей структуры спиннингованной ленты  $FeCu_1Si_{16}B_6$  и анизотропию их распределения.

## Аморфно — нанокристаллический сплав типа "Finemet" $FeCu_1Si_{16}B_6$





Скорость охлаждения: V =10<sup>6</sup> K/c

Зазор между соплом тигля и барабаном: 0,15 мм

Давление газа в камере: 400 мбар

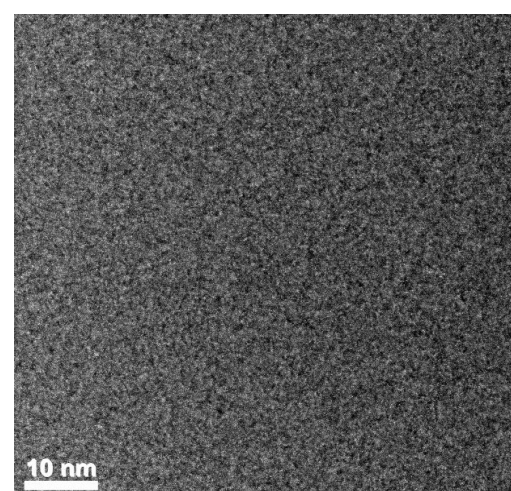
Давление в тигле: 600 мбар

Толщина ленты: 20 – 35 мкм

Просвечивающий электронный микроскоп: **FEI TITAN 300** 

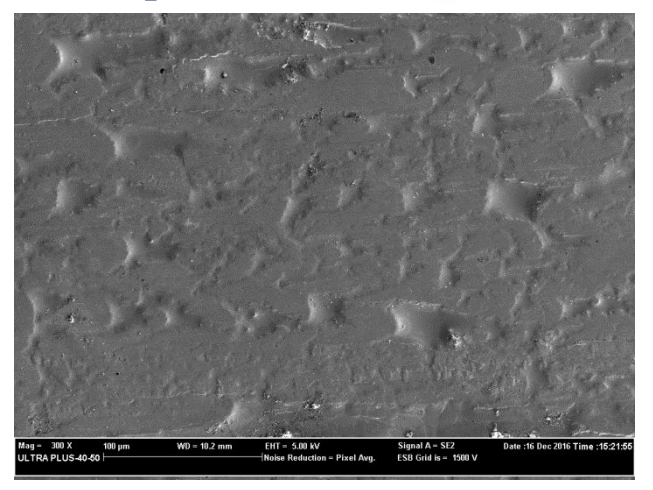
Область около контактной поверхности



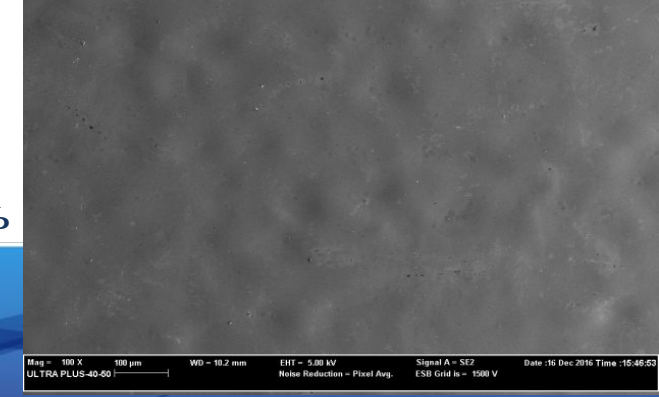


Сканирующий элетронный микроскоп:
Carl Zeiss
Crossbeam 1540XB

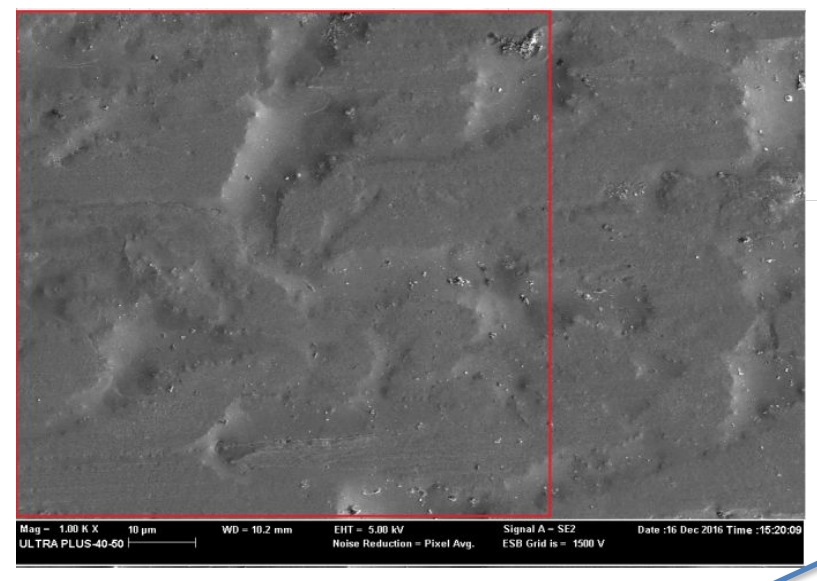
Контактная поверхность

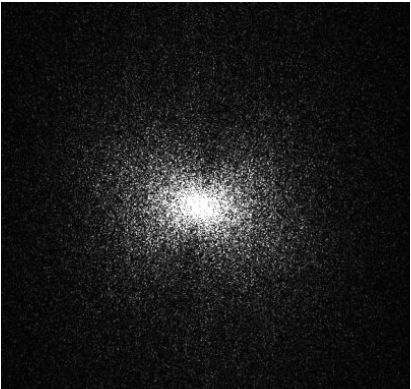


Свободная поверхность



### Метод исследования: Спектральный фурье – анализ.

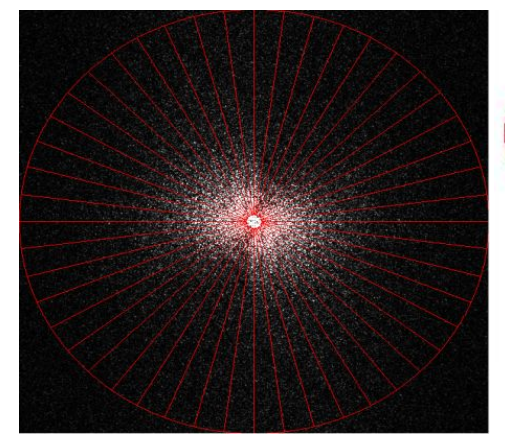




Дифракционная картина Франтгофера (спектр Фурье)

#### ИПХ

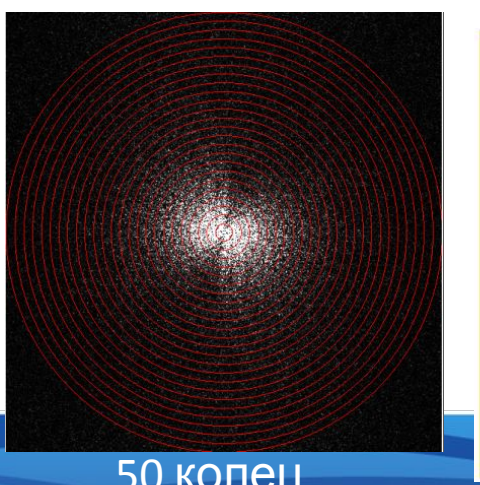
(распределение спектральной энергии в системе угловых секторов)



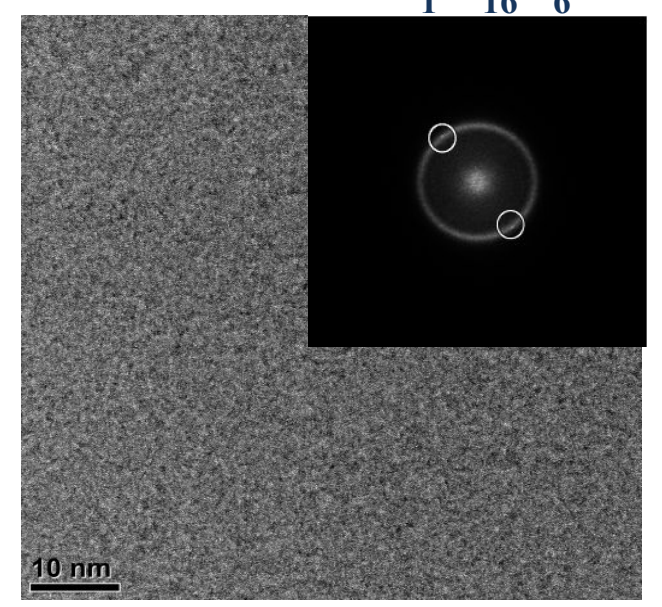


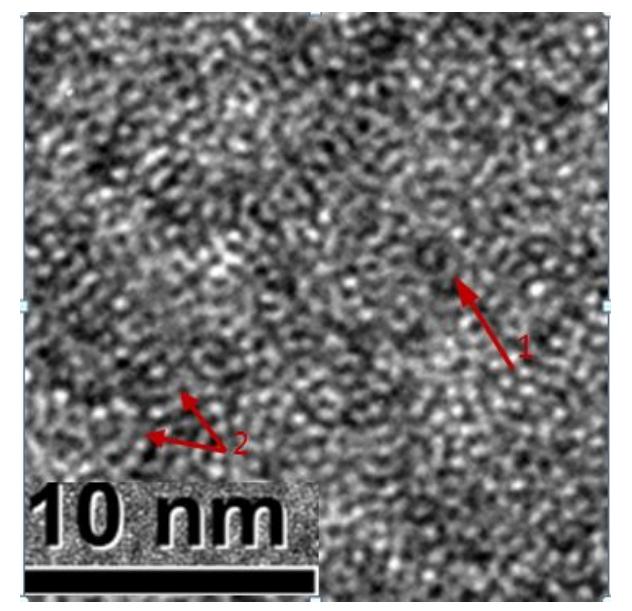


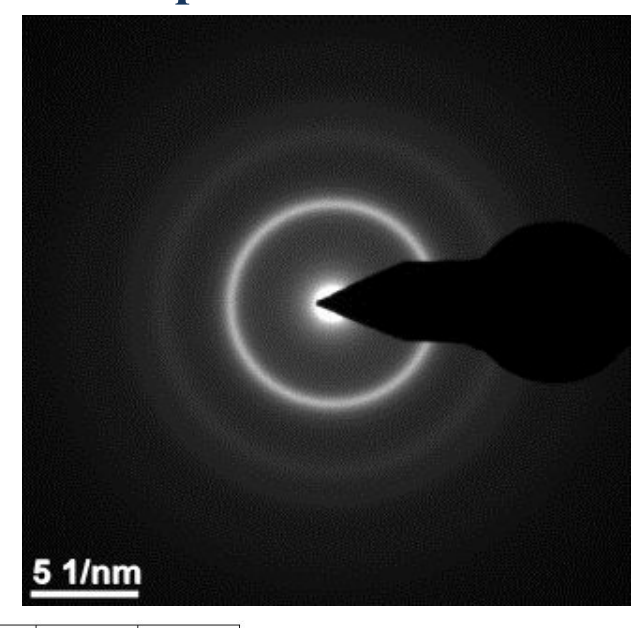
( распределение спектральной энергии в системе кольцевых зон)



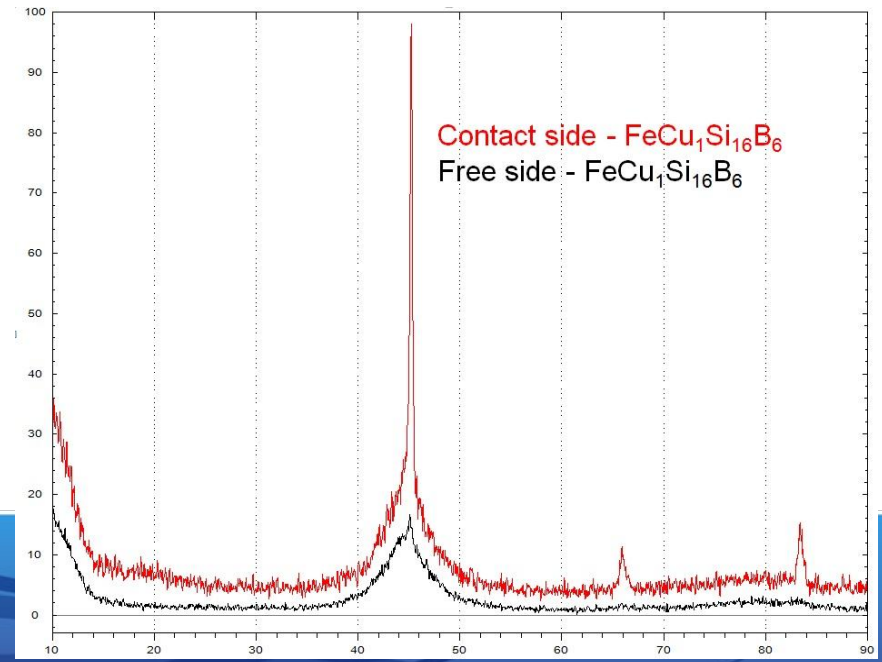
Электронно-микроскопическое изображение структуры аморфного сплава состава  ${\rm FeCu_1Si_{16}B_6}$  с области, близкой к контактной поверхности







Рентгенограмма спиннингованной  $_{\circ \circ}$  ленты  $FeCu_1Si_{16}B_6$ 

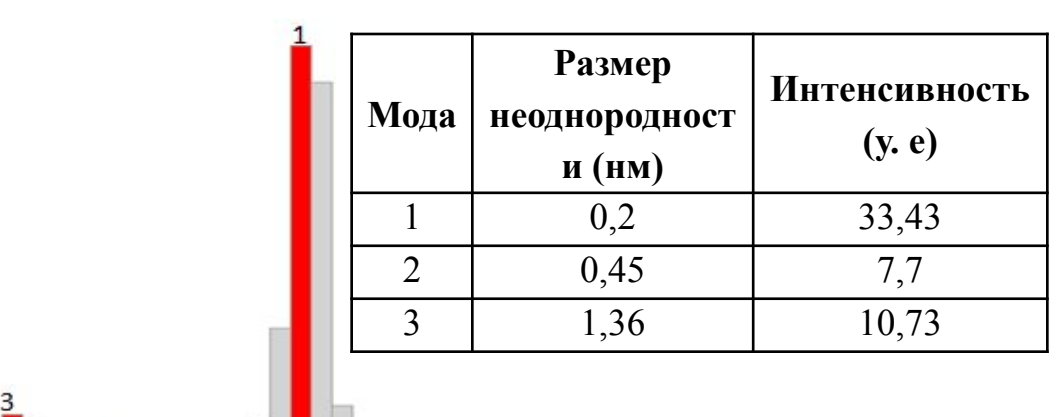


картина электронной дифракции

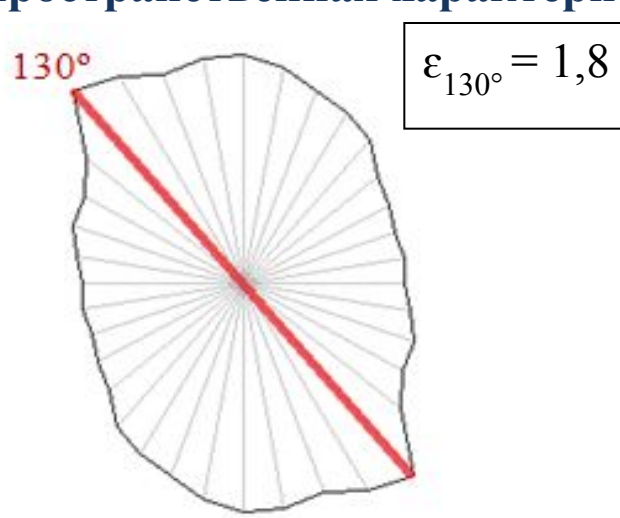
# 10 nm

Направление анизотропии

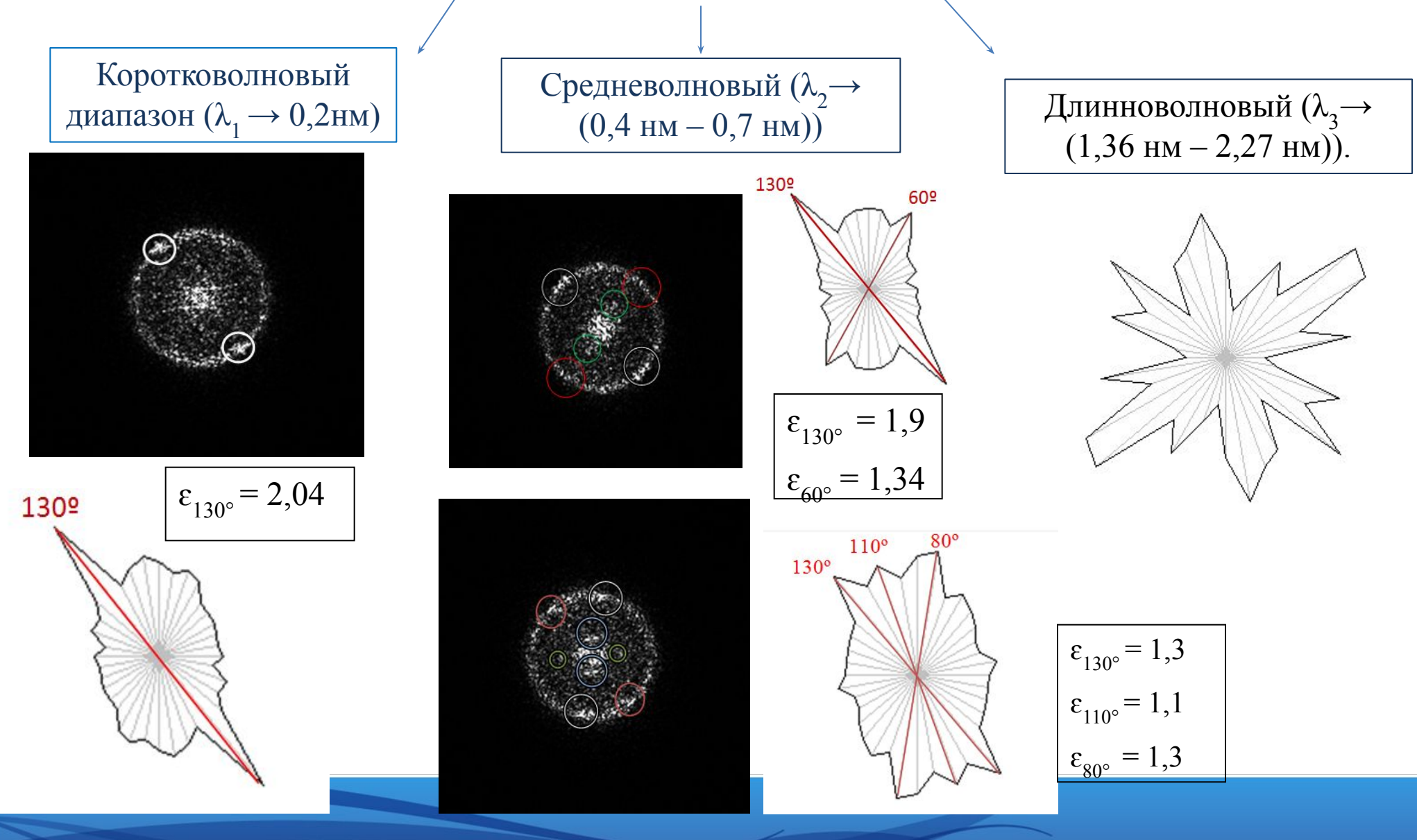
#### Интегрально частотная характеристика



#### Интегрально пространственная характеристика

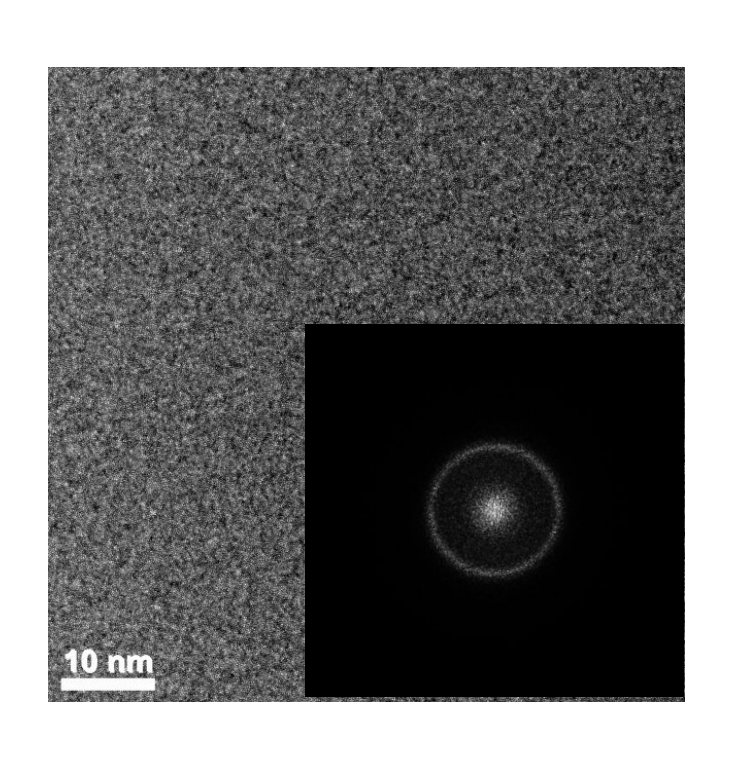


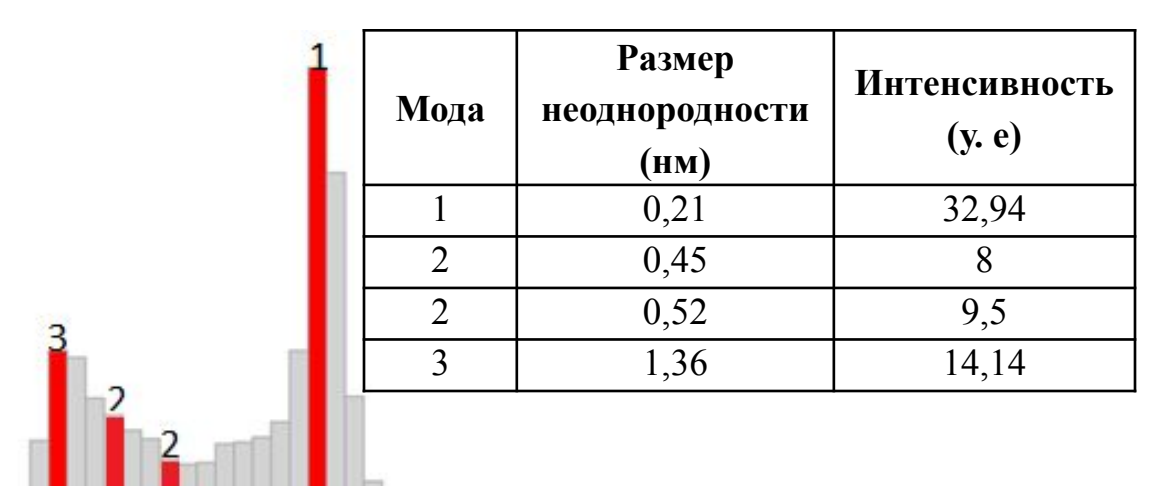
## Детальный анализ электронно-микроскопическое изображение структуры аморфного сплава с области, близкой к контактной поверхности



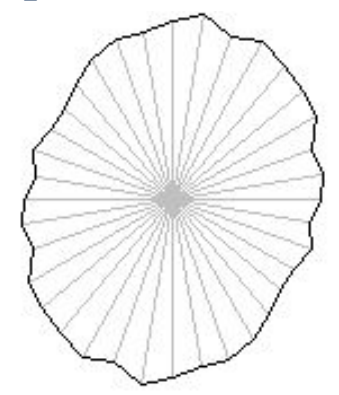
## Электронно-микроскопическое изображение структуры аморфного сплава состава $FeCu_1Si_{16}B_6$ с области, близкой к свободной поверхности

#### Интегрально частотная характеристика





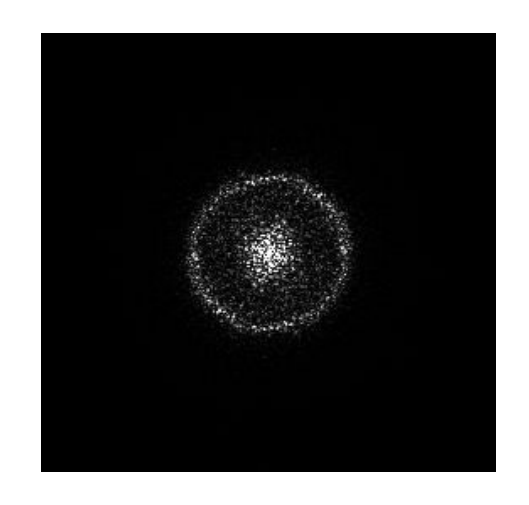
#### Интегрально пространственная характеристика

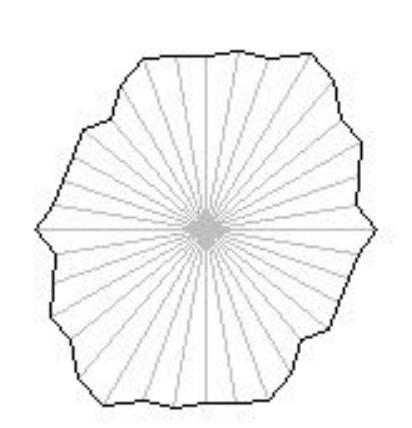


## Детальный анализ электронно-микроскопическое изображение структуры аморфного сплава с области, близкой к свободной поверхности

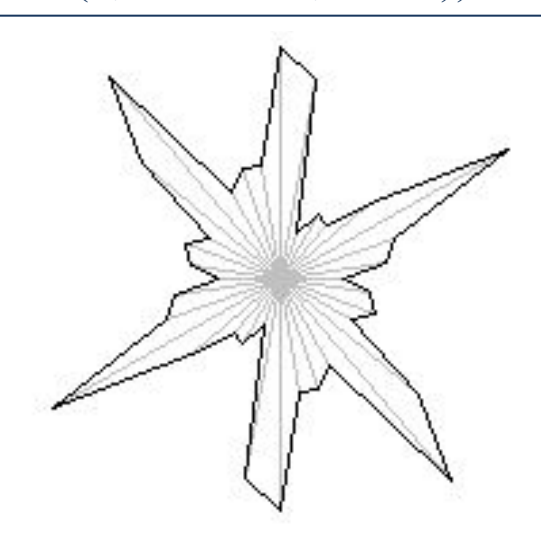
Коротковолновый диапазон ( $\lambda_1 \rightarrow 0,2$ нм)

Средневолновый ( $\lambda_2$  → (0,4 нм – 0,7 нм))

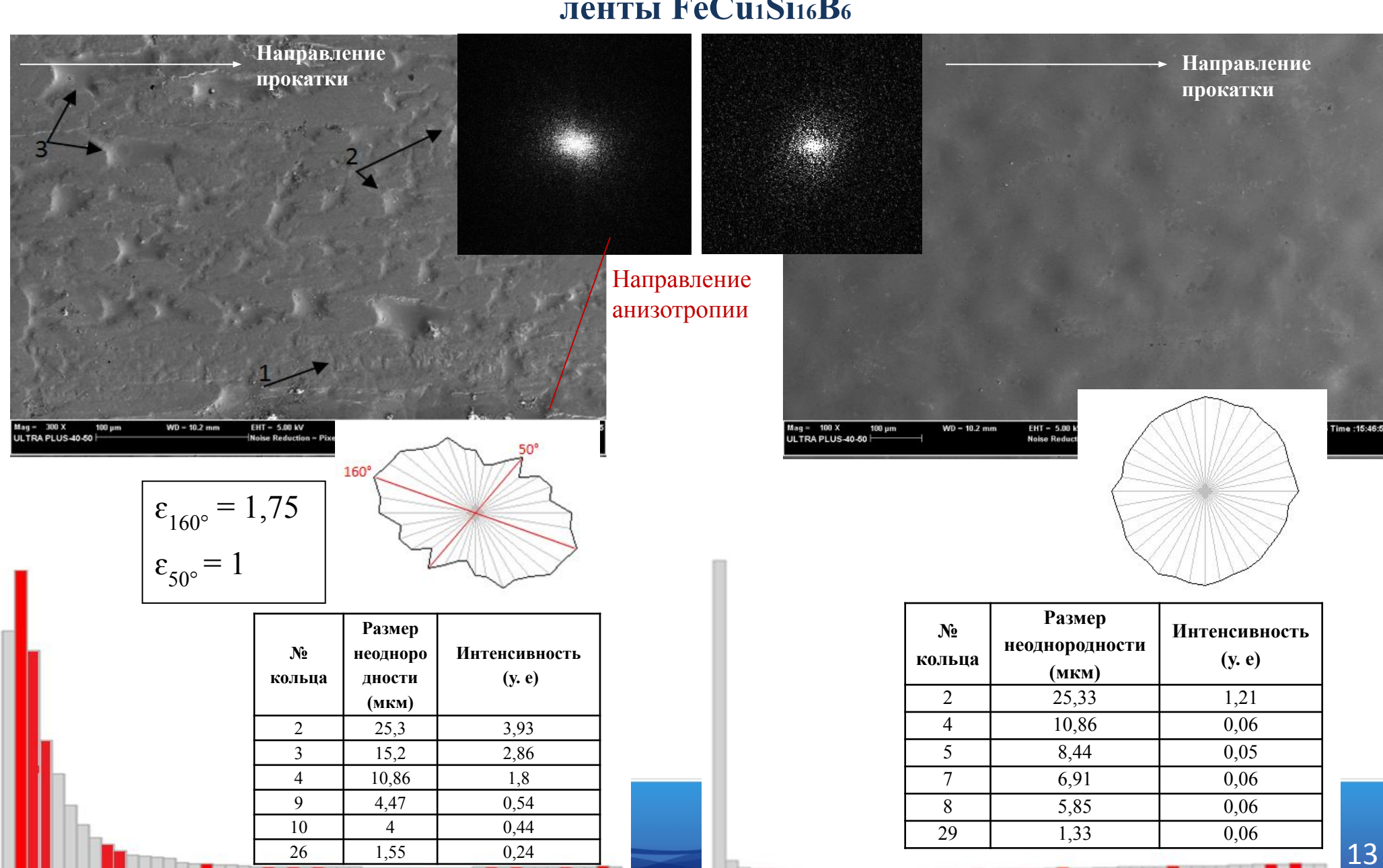




Длинноволновый ( $\lambda_3 \rightarrow (0.97 \text{ нм} - 2.27 \text{ нм})$ ).



## Спектральный анализ морфоструктуры поверхностей раздела спиннингованной ленты FeCu<sub>1</sub>Si<sub>16</sub>B<sub>6</sub>



2 45 78

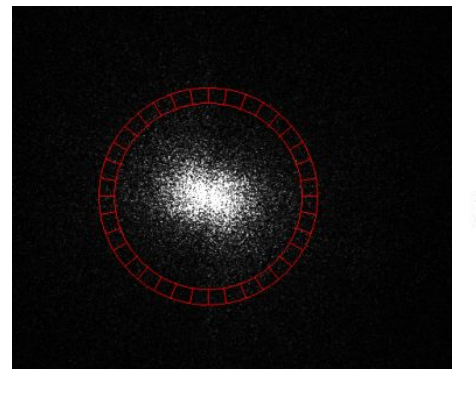
## Детальный анализ электронно-микроскопическое изображение

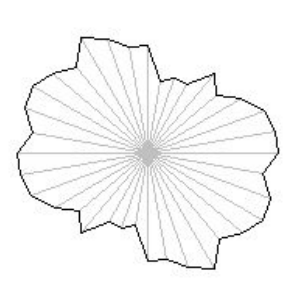
контактной поверхности аморфного сплава

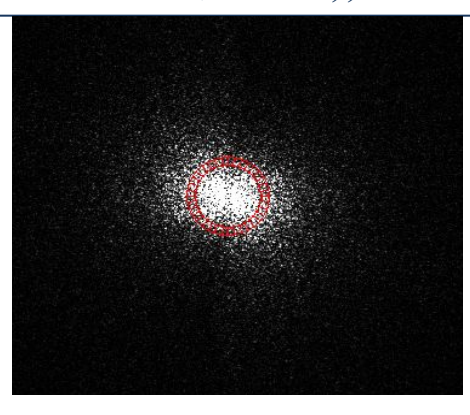
Коротковолновый диапазон  $(\Lambda_1 \rightarrow 4$ мкм - 1,55 мкм)

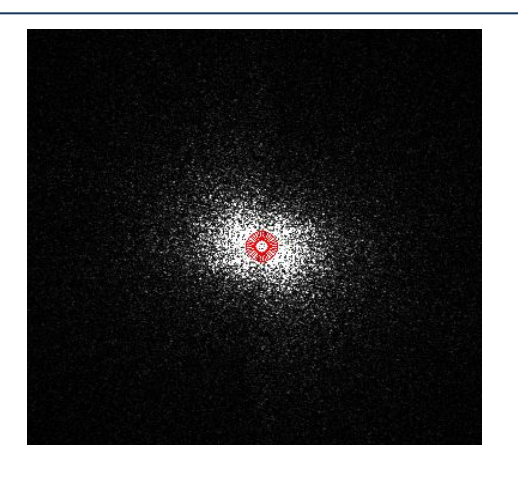
Средневолновый ( $\Lambda_2 \rightarrow (10 \text{мкм} - 4.7 \text{ мкм})$ )

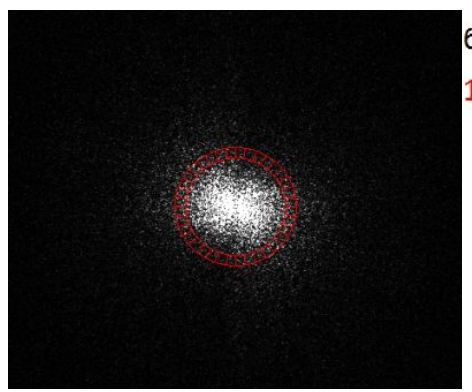
Длинноволновый ( $\Lambda_3 \rightarrow (25,3)$  мкм – 15,2 мкм)).

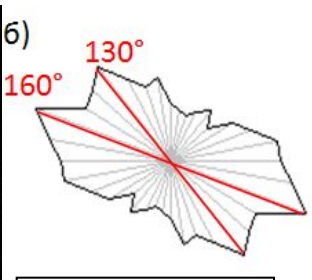






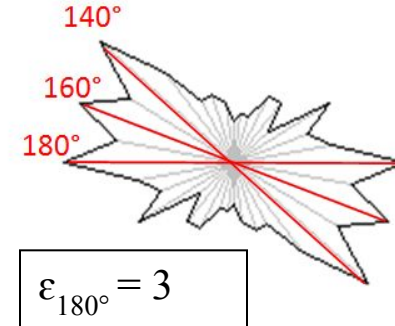






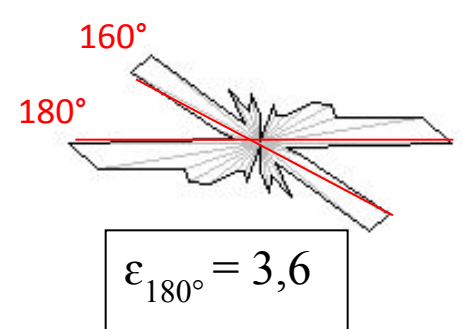
$$\epsilon_{160^{\circ}} = 3,4$$

$$\epsilon_{130^{\circ}} = 2,6$$



$$\varepsilon_{160^{\circ}} = 3$$

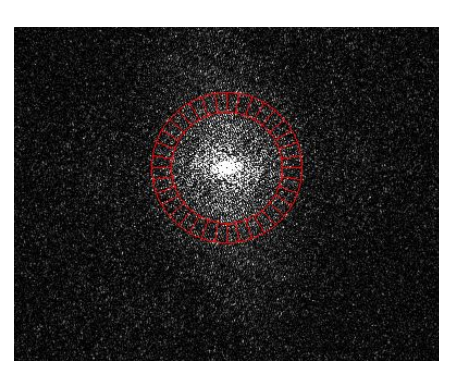
$$\varepsilon_{140^{\circ}} = 3$$

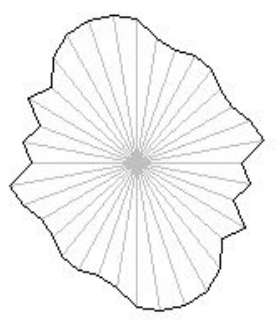


$$\varepsilon_{160^{\circ}} = 3,6$$

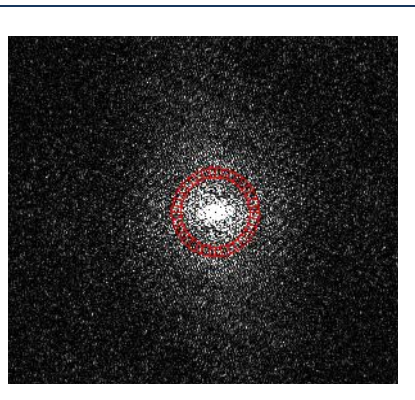
#### Детальный анализ электронно-микроскопическое изображение свободной ловерхности аморфного сплава

Коротковолновый диапазон  $(\Lambda_1 \rightarrow 5$ мкм - 1,33 мкм)



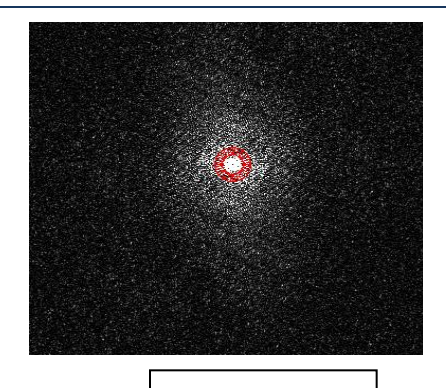


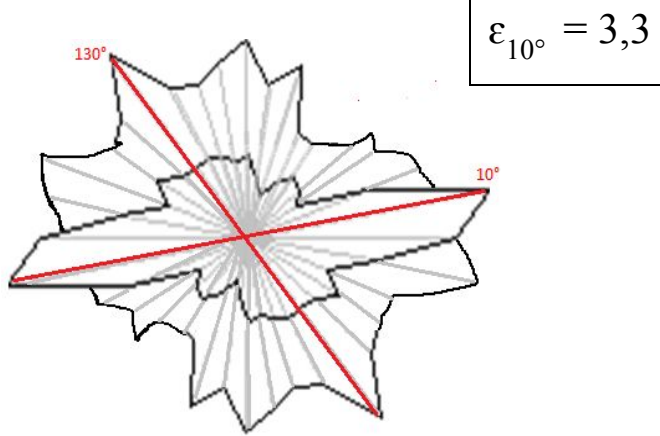
Средневолновый ( $\Lambda_2 \rightarrow (8,44)$  мкм -6,91 мкм))



 $\epsilon_{130^{\circ}} = 2$ 

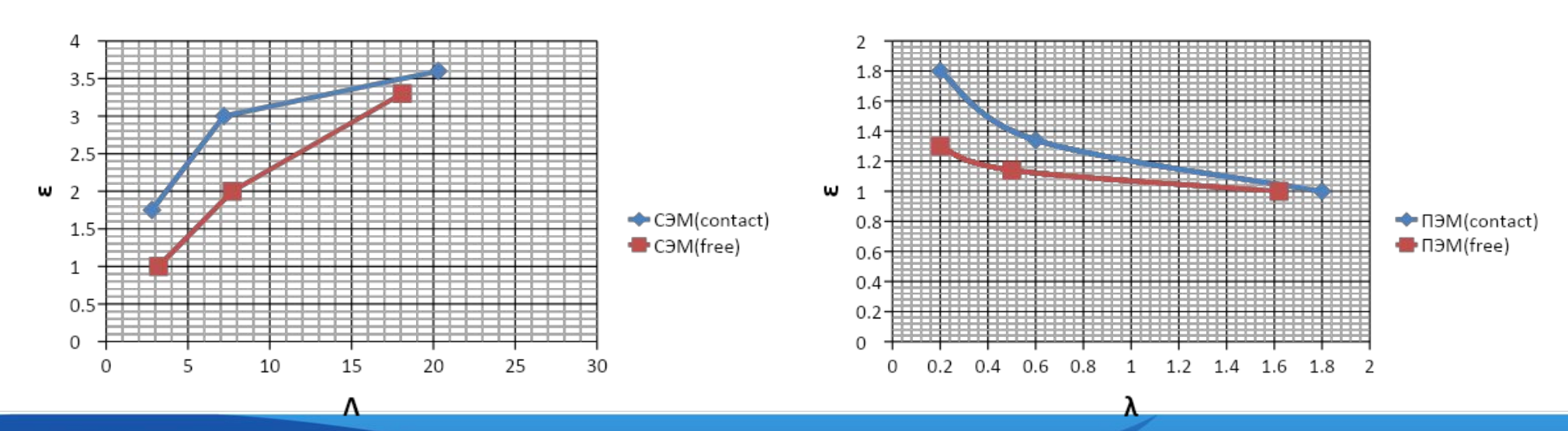
Длинноволновый ( $\Lambda_3 \rightarrow (25,3)$  мкм – 10,86 мкм)).





# Характеристики структурных и морфологических неоднородностей спинингованной ленты $FeCu_1Si_{16}B_6$

	СЭМ				ПЭМ			
	Контактная поверхность (contact)		Свободная поверхность (free)		Область близкая к контактной поверхности (contact)		Область близкая к свободной поверхности (free)	
	3	Л, мкм	ε	Л, мкм	3	λ, нм	3	λ, нм
1	1,75	2,8	1	3,2	1,8	0,2	1,3	0,2
2	3	7,2	2	7,7	1,34	0,6	1,14	0,5
3	3,6	20,3	3,3	18,1	1	1,8	1	1,62



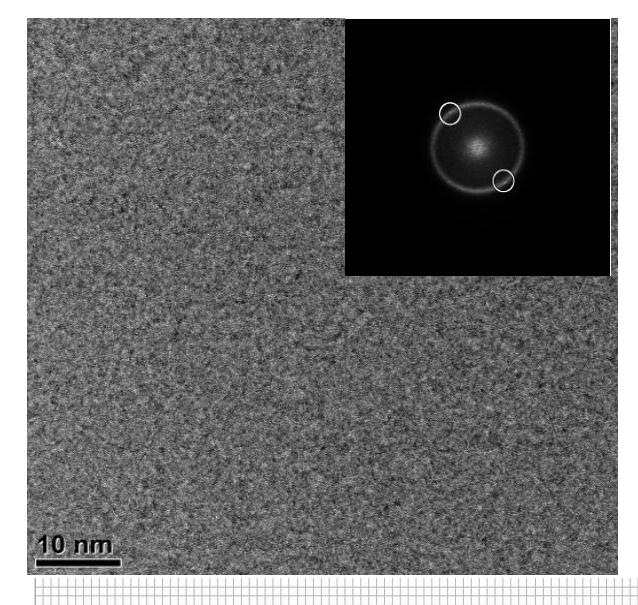
## Средние значения длин волн неоднородностей нанометрового диапазона и морфоуровня

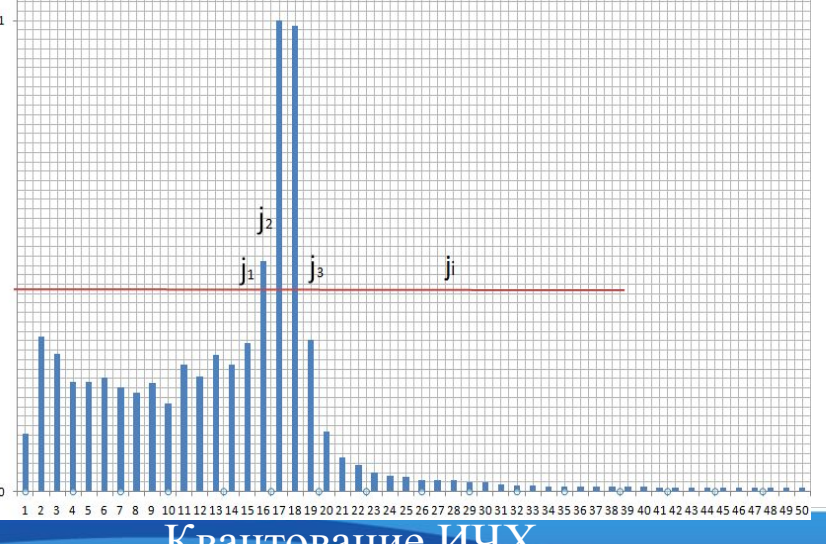
Диапазон размеров периодичностей	C9M(contact),	C3M(free), Λ	ΠЭΜ (contact), λ	ПЭМ(free), λ
1	2,8	3,2	0,2	0,2
2	7,2	7,7	0,6	0,5
3	20,3	18,1	1,8	1,62

# Отношения значений длин волн неоднородностей нанометрового диапазона и морфоуровня

Отношения длин волн	СЭМ(contact), Л	C3M(free), Λ	ΠЭM(contact), λ	ПЭМ(free), λ	
$\frac{\lambda_2}{\lambda_1}$	2,6	2,4	3	2,5	
$\frac{\lambda_3}{\lambda_1}$	7,25	5,7	9	8,1	

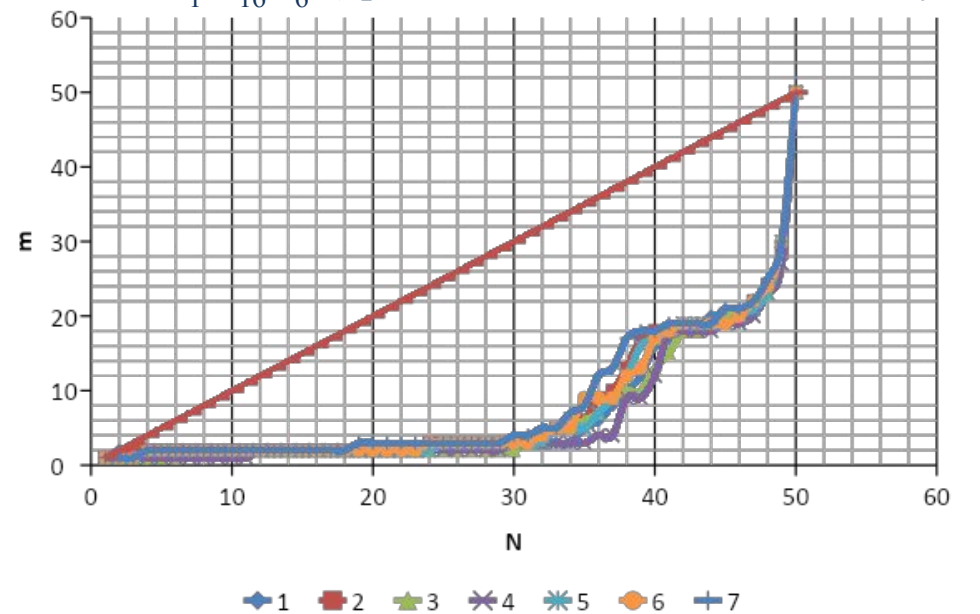
#### Статистический анализ упорядочения структуры сплава FeCu1Si16B6 с области близкой к контактной поверхности с использованием мер Лебега





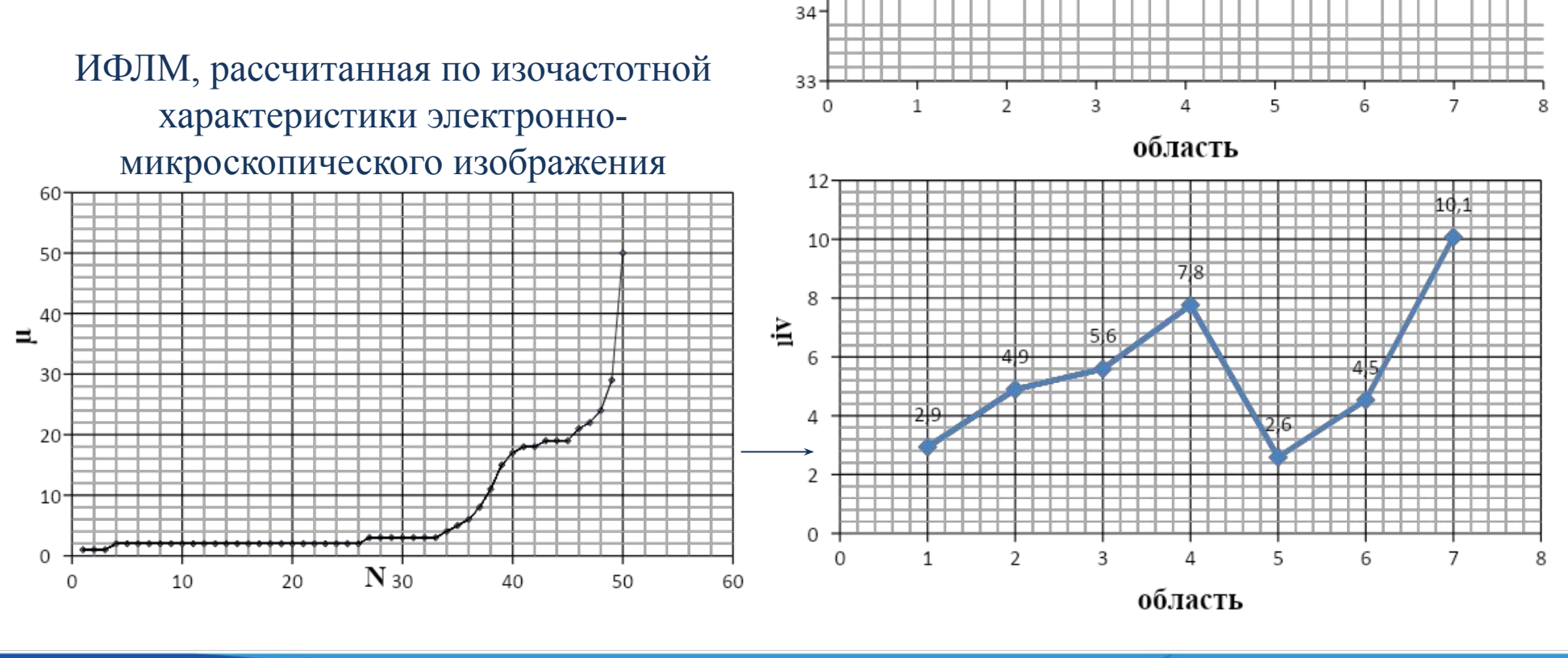
$$\mu\left(I_{j}(k)\right) = \sum_{(i)} \Delta I\left(k(i_{j})\right)$$

Интегральные функции лебеговских мер для различных областей электронно-микроскопического изображения сплава  $FeCu_1Si_{16}B_6$  (красная линия ИФМЛ белого шума)



Дивергенция Кульбака, полученная от ИФМЛ (база – белый шум)

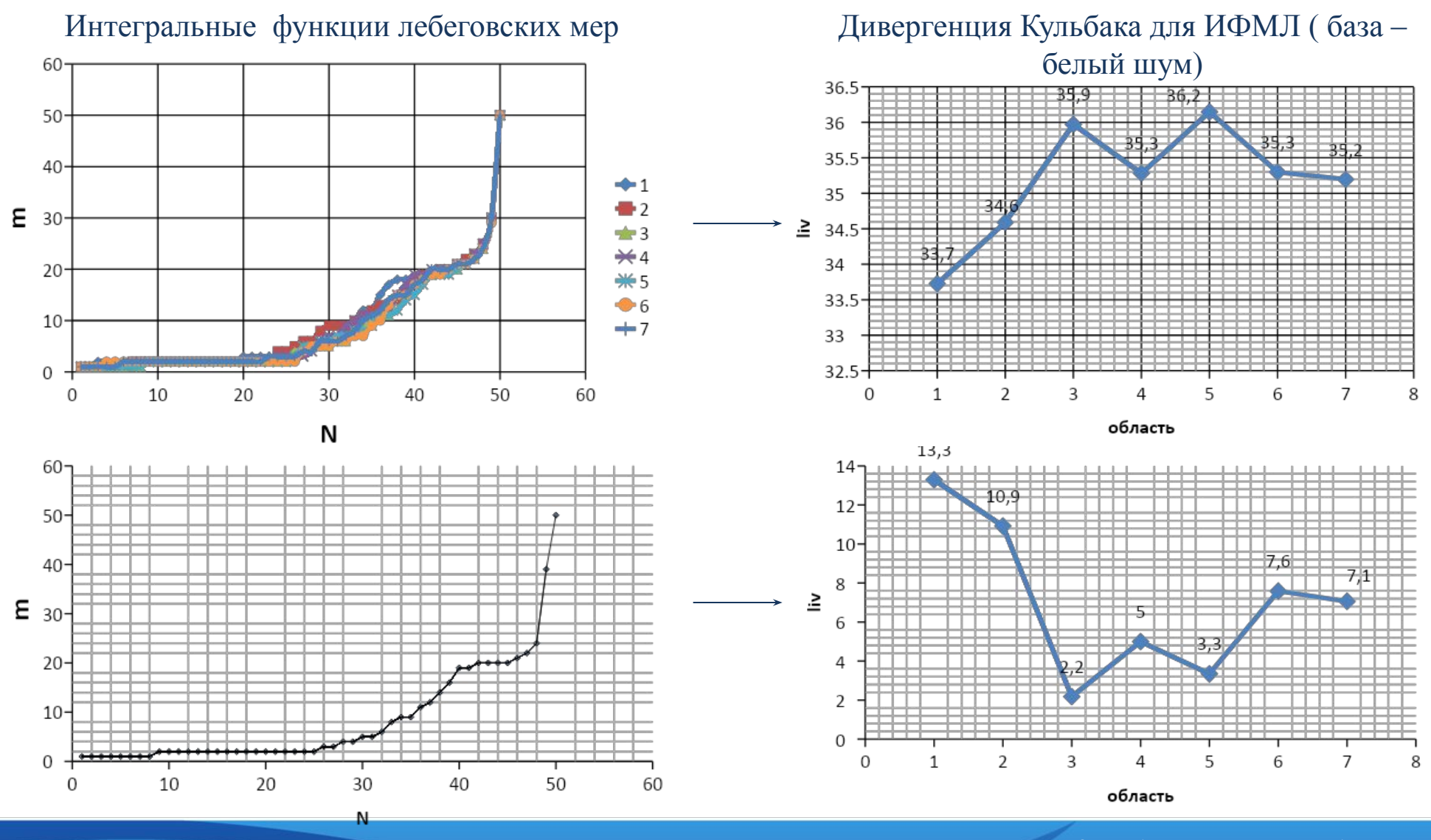
$$Liv\left[\frac{\mu(x_i)}{\widetilde{\mu(x_i)}}\right] = \sum_{\{x_i\}} \frac{|\mu(x_i) - \widetilde{\mu}(x_i)|}{\widetilde{\mu}(x_i)}$$



37

35

## Статистический анализ упорядочения структуры сплава FeCu<sub>1</sub>Si<sub>16</sub>B<sub>6</sub> с области близкой к свободной поверхности с использованием интегральных функций мер Лебега



#### Выводы:

- 1. Спектральный анализ электронно-микроскопических изображений структуры и характера морфологии спиннингованной ленты  $\mathrm{FeCu_1Si_{16}B_6}$  позволил выделить три диапазона размеров неоднородностей нано и микрометрового: длинноволновый ( $\lambda_3 = 0.2$  нм;  $\Lambda_3 = 2.8$  мкм) средневолновый ( $\lambda_2 = 0.6$  нм;  $\Lambda_2 = 7.5$  мкм), коротковолновый ( $\lambda_1 = 1.7$  нм;  $\Lambda_1 = 19.2$  мкм). Таким образом, исследуемая структура является сложной, характеризуется широким спектром неоднородностей.
- 2. Анизотропия структуры в нанометровом диапазоне определяется коротковолновыми неоднородностями,  $\lambda_1 = 0.2$  нм, которые обладают максимальным значением  $\epsilon$ , как на контактной, так и на свободной поверхностях. Формирование структур мезоуровня и длинноволнового диапазона сопровождается уменьшением коэффициента анизотропии.
- 3. Показано: интегральная анизотропия морфоструктуры спиннингованной ленты определяется неоднородностями длинноволнового диапазона. Коротковолновые периодичности свободной поверхности характеризуются меньшим показателем анизотропии (ε =1) по сравнению с контактной поверхностью (ε=1,75). Переход к неоднородностям высоких размеров приводит к линейному росту коэффициента анизотропии. Формирование среднего и дальнего порядка неоднородностей свободной поверхности сопровождается резким возрастанием анизотропии в их распределении и по значению ε достигает значения коэффициента анизотропии контактной поверхности.
- 4. Сравнение спектральных характеристик локальных областей структуры быстрозакаленного сплава выявил разный уровень их упорядочения. Изменение характера анизотропии для обнаруженных диапазонов неоднородностей нано- и микроуровня отражено в инверсии коэффициента анизотропии ε. Получено: формирование среднего и дальнего порядка в аморфно-нанокристаллическом сплаве происходит по принципу самоподобных пространственных структур.



## Спасибо за внимание!